

Ф и г. 5

Результаты численного решения задачи в виде зависимостей $c(Re)$ и $Nu(Re)$ представлены на фиг. 2 штрихом для трех значений параметра $\sigma = 0; 1; 10$. Наиболее характерным свойством профилей скорости при $\sigma > 0$ является немонотонность распределения скоростей по сечению канала при больших числах Рейнольдса (фиг. 3, где для случая $\sigma = 1$ сплошными линиями показаны зависимости $w(y)$ при разных числах Re , а штриховыми — распределения температур $\theta(Re)$). Числам Рейнольдса $Re = 1; 10; 100; 1000$ соответствуют значения $a = 2,05; 0,861; 0,361$ и 0,148. Семейство профилей $w(y)$ при $Re = 1000$ и различных числах Прандтля ($0 < \sigma < 1000$) представлено на фиг. 4. Профили массовой скорости $\rho v_x \sim u/\theta$ являются монотонными (фиг. 5, где приведено сравнение профилей u/θ для $\sigma = 0$ и $\sigma = 1$ при $Re = 1000$).

Таким образом, неравномерность распределения плотности по сечению канала приводит к снижению объемной и увеличению массовой скорости в приосевой зоне.

Автор благодарит А. Ф. Селезневу за проведение расчетов и В. Н. Штерна за обсуждение работы.

Поступила 30 V 1975

ЛИТЕРАТУРА

1. Петухов Б. С. Теплообмен и сопротивление при ламинарном течении жидкости в трубах. М., «Энергия», 1967.

УДК 532.517

К ОПРЕДЕЛЕНИЮ РАДИУСА ВОЗДУШНОГО ВИХРЯ ПРИ ЛАМИНАРНОМ ТЕЧЕНИИ ЖИДКОСТИ В ЦЕНТРОБЕЖНОЙ ФОРСУНКЕ

Ю. З. Нехамкин, Б. Д. Стрелков, Ю. И. Хавкин

(Ленинград)

В существующих теориях центробежной форсунки, например [1], для определения радиуса воздушного вихря r_0 используется условие максимального расхода или другие экстремальные принципы. В данной работе радиус воздушного вихря определен из уравнений движения вязкой несжимаемой жидкости.

Схема форсунки приведена на фиг. 1. Явления, происходящие в пограничных слоях вблизи торцов, не рассматриваются. Область течения разбивается на две зоны.

Все величины в данной работе безразмерные, масштаб длин — радиус выходного сопла r_1 , масштаб скоростей — скорость во входных каналах V .

В зоне I ($1 \leq r \leq a$) поток плоский, типа вихревого стока, т. е. $v = v(r)$, $u = 0$, $w = w(r)$, где v — радиальная составляющая скорости; u — осевая составляющая; w — окружная составляющая.

Выражения для составляющих скорости в зоне I получены в работе [2]

$$v = -\kappa/r; \quad w = C_1 r^{1-\kappa \text{Re}} + C_2/r,$$

где $\kappa = f/2\pi L r_1$; $\text{Re} = V r_1/\nu$; f — площадь поперечного сечения входных каналов.

Для определения постоянных C_1 и C_2 имеем условие

$$(1) \quad w = 1 \quad (r = a)$$

и условия сопряжения функции w и ее производной при $r = 1$.

В зону II ($r_0 \leq r \leq 1$) жидкость подводится равномерно по всей длине камеры L .

Для определения r_0 получим интегральное условие, аналогичное интегральному соотношению для переноса главного момента количества движения сквозь сечение ламинарной струи [3].

Примем, что и в зоне II окружная составляющая скорости не зависит от осевой координаты z .

Тогда в зоне II справедливы следующие уравнения:

$$(2) \quad vdw/dr + vw/r = (1/\text{Re})(d^2w/dr^2 + (1/r)dw/dr - w/r^2);$$

$$(3) \quad \partial rv/\partial r + \partial(rw)/\partial z = 0.$$

Уравнение (2) после умножения обеих частей на r и использования уравнения неразрывности (3) может быть переписано в форме

$$\partial(ruw)/\partial z + \partial(rvw)/\partial r + vw = (1/\text{Re})(d/dr)[(1/r)(d(rw)/dr)]$$

или после повторного умножения на r в виде

$$\partial(r^2uw)/\partial z + \partial(r^2vw)/\partial r = (1/\text{Re})\{(d/dr)rd(rw)/dr - 2d(rw)/dr\}.$$

Проинтегрировав обе части последнего равенства поперек зоны II от $r = r_0$ до $r = 1$, получим

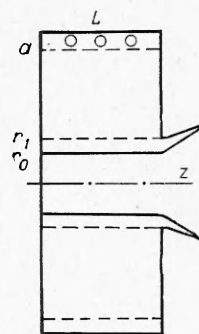
$$(4) \quad \frac{d}{dz} \int_{r_0}^1 r^2 uw dr + [r^2 vw]_{r=r_0}^{r=1} = \frac{1}{\text{Re}} \left[r \frac{d(rw)}{dr} - 2rw \right]_{r=r_0}^{r=1}.$$

Следуя [1, 2, 4], примем, что r_0 — постоянная по длине камеры величина.

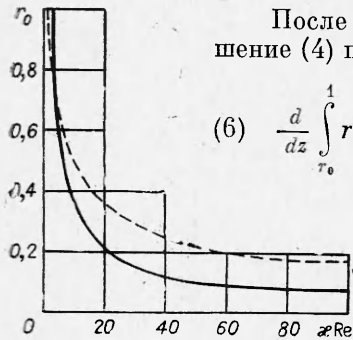
При $r = r_0$ имеет место условие непроницаемости, поверхность воздушного вихря свободная, т. е.

$$(5) \quad v = 0; \quad dw/dr = 0 \quad (r = r_0),$$

при $r = 1$ — условие сопряжения функций v и w .



Ф и г. 1



Ф и г. 2

После подстановки граничных условий (5) в соотношение (4) получим

$$(6) \quad \frac{d}{dz} \int_{r_0}^1 r^2 u w dr = \kappa v_1 + \frac{1}{\text{Re}} \left\{ r_0 w_0 - 2w_1 + \left[\frac{d(rw)}{dr} \right]_{r=1} \right\},$$

где $w_1 = w(1)$; $w_0 = w(r_0)$.

Уравнение (6) служит для нахождения r_0 при известных $u(r, z)$ и $w(r)$. Для определения составляющих скорости воспользуемся приближенными выражениями, так как решение системы уравнений гидродинамики сопряжено со значительными трудностями.

Из условия $r_0 = \text{const}$ следует, что $u = zf(r)$. Действительно, приравняв количество жидкости, прошедшее через границу зон I и II на участке длиной z , и расход через поперечное сечение зоны II, получим

$$2\pi r_1 v(1) z = 2\pi \int_{r_0}^1 r u dr,$$

откуда следует, что $u = zf(r)$.

В качестве u возьмем среднерасходную скорость

$$(7) \quad u = 2\kappa z / (1 - r_0^2).$$

Для w примем выражение, предложенное в [4],

$$w = w_0 2r_0 r / (r^2 + r_0^2).$$

При таком задании $w(r)$ граничное условие (5) выполняется автоматически. Для определения C_1 , C_2 и w_0 имеются условие (1) и два условия сопряжения. Решая систему этих уравнений, получим

$$C_1 = \frac{2r_0^2}{2 + 2r_0^2 a^{2-\kappa \text{Re}} - \kappa \text{Re} (1 + r_0^2)}; \quad C_2 = 1 - C_1 a^{2-\kappa \text{Re}};$$

$$w_0 = [1 + C_1 (1 - a^{2-\kappa \text{Re}})] (1 + r_0^2) / 2r_0.$$

Выражения для окружных составляющих скорости имеют вид

$$(8) \quad w = C_1 r^{1-\kappa \text{Re}} + (1 - C_1 a^{2-\kappa \text{Re}}) / r \quad (1 \leq r \leq a);$$

$$w = r [1 + C_1 (1 - a^{2-\kappa \text{Re}})] (1 + r_0^2) / (r^2 + r_0^2) \quad (r_0 \leq r \leq 1).$$

Подставив полученные профили (7), (8) в интегральное соотношение (6), получим уравнение, связывающее r_0 с параметром κRe ,

$$2\kappa \text{Re} r_0^2 (1 + r_0^2) \left(\frac{1 + r_0^2}{1 - r_0^2} \ln \frac{2r_0^2}{1 + r_0^2} = 1 \right) = r_0^4 + 2r_0^2 - 3.$$

На фиг. 2 показаны зависимости $r_0 = r_0(\kappa \text{Re})$ (сплошная кривая) и $r_0 = (2,513/\kappa \text{Re}^{1/2})$ (построена по формуле [2], штриховая кривая).

ЛИТЕРАТУРА

1. Абрамович Г. Н. Теория центробежной форсунки.— В кн.: Промышленная аэродинамика. М., ЦАГИ, 1944.
2. Гольдштик М. А. К теории эффекта Ранка (закрученный поток газа в вихревой камере).—Изв. АН СССР. ОТИ», 1963, № 1.
3. Лойцянский Л. Г. Механика жидкости и газа. М., «Наука», 1973.
4. Вулис А. А., Устименко Б. П. К вопросу об аэродинамической схеме потока в циклонной камере.—«Вестн. АН Каз. ССР», 1954, № 4.

УДК 532.516

РАСЧЕТ АВТОКОЛЕБАНИЙ, ВОЗНИКАЮЩИХ
ПРИ ПОТЕРЕ УСТОЙЧИВОСТИ СПИРАЛЬНОГО ТЕЧЕНИЯ
ВЯЗКОЙ ЖИДКОСТИ В КОЛЬЦЕВОЙ ТРУБЕ

*А. Л. Уринцев**(Ростов-на-Дону)*

Проведен анализ устойчивости спирального течения между концентрическими цилиндрами, вызванного вращением внутреннего цилиндра и осевым градиентом давления по отношению к малым, но конечным вращательно-симметричным возмущениям.

Теоретическое рассмотрение устойчивости спиральных течений обычно проводится в рамках линейной теории и существенно использует упрощающие предположения: вращательную симметрию возмущений, малость зазора между цилиндрами, малость осевого числа Рейнольдса [1—5]. Ограничения на величину осевого потока отсутствуют в работе [6], где задача решена асимптотическим методом в приближении узкого зазора. Анализ устойчивости без ограничений на величину зазора, основанный на уравнениях идеальной жидкости, проведен в [7]; случай скользящих один относительно другого цилиндров и невращательно-симметричных возмущений рассмотрен в [8]. Влияние осевого потока на границы устойчивости изучалось экспериментально в [9—14], автоколебания в кольцевой трубе наблюдались в [11, 12].

Подробное численное исследование устойчивости спиральных течений проведено в [15, 16], где наряду с вращательно-симметричными изучены трехмерные колебания и рассчитаны нейтральные кривые в широком диапазоне изменения чисел Рейнольдса, зазора и продольных волновых чисел. Строгое доказательство существования периодического по времени режима, возникающего в результате потери устойчивости спирального потока, вызванного вращением и очень медленным поступательным движением цилиндров, содержится в [17]; один пример рождения конвективных автоколебаний потока вязкой жидкости в цилиндрической трубе рассмотрен в [18].

В данной работе методом Ляпунова—Шмидта [17, 19—21] для случая узкощелевого канала, когда наиболее опасны осесимметричные возмущения [16], произведен расчет амплитуды вторичного нестационарного ламинарного режима и исследована его устойчивость при различных значениях числа Рейнольдса Re_z , построенного по осевой скорости. Показа-